

都心走行에 있어서 가솔린自動車의 燃料消費 및
汚染物質 排出特性에 關한 研究

Characteristics of Gasoline Consumption and CO Emission
in Urban Traffic

趙康來*
Kang Rae Cho

Abstract

The relationship between vehicle driving pattern and fuel consumption in urban area was studied in Seoul along three representative routes using a test car equipped with all the instruments required for recording modes of traffic and measuring fuel consumption.

Correlation with idle speed, fuel consumption and CO concentration of car in use was also measured.

The average vehicle speed in Seoul was 31.4 km/h and the time spent in different modes was 23.0% in idle mode, 22.5% in acceleration mode, 32.4% in cruising mode and 22.3% in deceleration mode, respectively. Hence, traffic flow was suggested to be relatively smooth.

Fuel consumption per unit distance, ϕ , was closely related with trip time spent per unit distance, t , and correlation coefficient obtained from the test car was 0.925, and the relationship between ϕ and t was also obtained from the linear regression with the following equation. $\phi = 42.87 + 0.38t$.

Idle speed of vehicle in use was mostly adjusted low and cars which were over the permissible standard of CO concentration (4.5%) were 50% or more.

As the idle speed decreased, the fuel consumption was decreased, while the CO concentration was increased. Therefore, the decrease of fuel consumption can not be expected with only a decrease in idle speed.

1. 序論

產業技術의 發達과 國民經濟의 高度成長으로 生活水準이 向上됨에 따라 自動車需要는 急增하게 되었으나 道路率, 交通體系 및 駐車施設 등 自動車의 受容態勢는 이를 뒤따르지 못하게 되어 交通滯症을 誘發하게 되고 自動車排出ガス에

의한 大氣污染의 悪化와 燃料消費量의 增大 등의 問題를 起起하게 되었다.

우리나라의 自動車 增加趨勢를 보면 1962年 28,968臺였던 것이 1983年에 785,315 대로서 20年사이에 27.1배로 增加하였으며 1986년에는 1,147,700대로, 1996년에는 3,033,500대로 推定하고 있다.

한편 自動車用 燃料는 1982年 現在 全體 油類消費量의¹⁾ 14.2%인 $4.1 \times 10^6 \text{ k}\ell$ 로서 이중 휘발유 $543 \times 10^3 \text{ k}\ell$, 輕油 $2,798 \times 10^3 \text{ k}\ell$ 를 消費하였으며 自動車의 增加와 더불어 크게 增加할 것이豫想된다.

自動車用燃料는 다른 產業用燃料와는 달리 國產燃料로 代替하기가 어려울 뿐만 아니라 良質의 것이 要求되기 때문에 自動車用燃料의 低減對策은 그 어느 燃料의 低減對策보다도 時急하다.

또한 自動車用燃料의 增加는 都心地域 大氣污染物質의 增加와 直結된다는 점을 감안할 때 燃料節減은 莫大한 外貨浪費의 立場에서 뿐만 아니라 快適한 生活環境保全을 위해서도 時急한 課題이다.

自動車用燃料低減對策으로서는 自動車 本體의 改良에 의한 對策, 그 使用上에 있어서의 對策 및 交通環境의 整備에 의한 對策 등을 들 수 있다. 特히 交通環境의 整備에 의한 自動車燃料의 低減對策은 自動車污染物質 低減對策과 함께 都心地域에서 運行되고 있는 自動車에 대해서는 아주 重要한 對策이다. 自動車의 燃費는 污染物質 排出量과 함께 自動車의 實走行條件에 따라 相異하다. 즉, 自動車의 種類, 交通量, 道路地形 및 構造, 交通管理體系, 車種構成比, 氣候條件과 같은 物理的인 條件 뿐만 아니라 運轉者の 運轉習慣 등에 따라 相異하다는 것이 많은 研究結果에 의해 알려졌다.

이에 關한 研究는 L. Evans^{2), 3)}, M. F. Chang^{5), 6)}, K. K. Gandhi⁷⁾, T. M. Johnson⁸⁾, 佐野雅英⁹⁾, 嶋純孝¹⁰⁾, 有賀基¹¹⁾ 등에 의하여 研究되었으며 우리나라에서는 朴宣 동^{12), 13)} 高速道路 走行 燃費測定모드 開發을 위한 研究를 하였을 뿐 都心走行 燃費에 關한 研究는 거의 全無한 實情이다.

本 研究에서는 自動車의 都心走行에 있어서 走行패턴과 實走行 燃費의 關係를 알아보기 위하여 實驗自動車에 走行패턴測定器를 設置하고 選定된 走行路線을 實走行하여 얻어진 車速과 燃料消費量 测定值를 分析하여 보았으며, 自動車의 空回轉速度 設定이 燃料消費量 및 排出ガス 污染物質排出量에 미치는 影響을 實測하여 運行 중인 自動車의 走行燃費向上 및 污染物質排出低

減對策 樹立에 대한 基礎資料를 提供하고자 하였다.

2. 實驗內容 및 方法

2.1. 走行燃費 测定

1) 走行路線의 選定

單位燃料當 走行距離(燃費: Fuel Economy)測定에 使用한 走行試驗路線은 Fig. 1과 같이 서울市 全體幹線道路中 일부이기는 하나 都心의 東西를 貫通하는 鍾路線과 乙支路線을 包含한 I路線과 都心과 南山1號 및 3號터널을 通過하여 江南北을 連結하는 II路線 및 錦湖터널과 성산대교 및 江邊路를 포함하는 III路線으로 구성되어 있다. I路線은 都心으로서 交通量이 많아 都心混雜路線을 代表한다고 볼 수 있으며, II路線은 都心과 江南을 연결하는 간선도로로서 出退勤시 가장 交通混雜度가 非常한 路線이며, III路線은 交通量은 많으나 交通疎通이 잘되는 路線이다.

各 路線의 總延長은 56.4 km로서 I路線 15.5 km, II路線20.2 km 및 III路線20.7 km이다.

2) 走行日時

走行試驗은 1983. 11. 17(木)~21(月) 사이에 測定하였으며 土曜日과 日曜日도 測定하였다. 測定時間은 交通混雜時間帶인 08時~11時와 非混雜時間帶인 14時~17時帶를 취하여 1日 2回 測定하였다. 走行順序는 各 走行試驗 路線의 測定時間帶가 고루 포함되도록 順序와 方向을 交替하여 測定하였다.

3) 實驗自動車

實走行試驗에 使用한 自動車는 小型 휘발유乘用車로서 諸元은 다음과 같다.

排氣量: 1,238cc

最大出力: 80 ps/6300 rpm

最大토오크: 10.8 kg-m/4000 rpm

氣筒數: 4 氣筒

生產年度: 82年型

實驗前까지의 總走行距離: 38,450 km

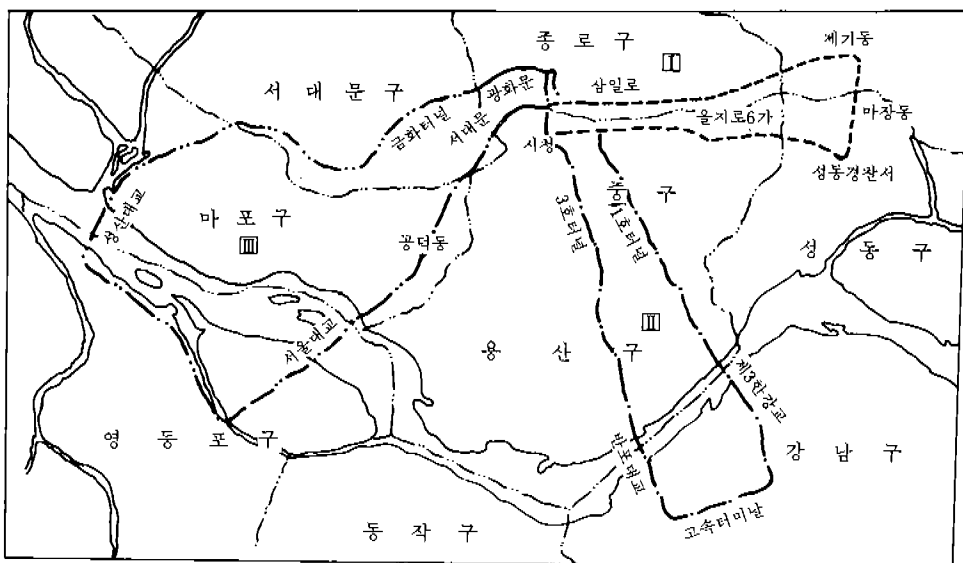


Fig. 1 Driving Routes in Seoul

4) 實驗裝置

實驗自動車에 設置한 測定裝置는 Onosokki 製 檢出器 및 Data Conditioner, Kyowa 製 Data Corder (RTP 501AL) 및 Watanabe 製 Linear Corder Mark VII (WR3101) を 使用하였다.

車速은 自動車의 미순케이블에 펄스발생기 (RP-432Z - 300P/K)를 연결하여 발생하는 펄스를 전압으로 바꾸어 data corder에 기록하고 燃料消費量은 自動車의 燃料탱크와 캐브레이터 사이에 燃料檢出器 (Piston Type FP-214)를 연결하여 연료유량에 따라 발생하는 펄스를 전압으로 바꾸어 data corder에 기록한 후 實驗室에서 tape recorder에 기록 재생하고 한편으로는 data corder에 記錄한 아나로그 데이타를 디지털 데이타로 變換하여 컴퓨터에 입력시켜 처리하였다.

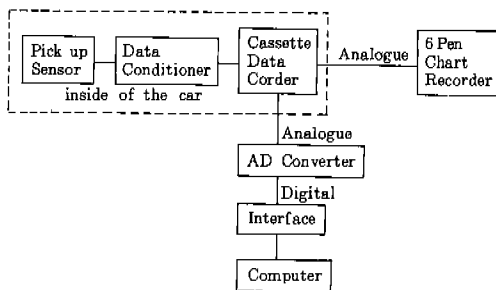


Fig. 2 Flow Chart of Data Analysis

實驗裝置 및 데이타處理裝置의 連結図는 Fig. 2 와 같다.

2.2. 아이들링燃料消費量

1) 實驗自動車

아이들링燃料消費量 및 一酸化炭素 (CO) 濃度測定에 使用한 自動車는 市中에 많이 運行되고 있는 小型乘用車 中에서 二種을 選定하여 空回轉速度 變化에 따른 燃料消費量과 CO濃度 變化를 測定하였으며 實驗自動車의 諸元은 Table 1 과 같다.

Table 1. Specification of Test Cars

Items	Kind of Vehicle	Car A	Car B
Displacement	1492cc	1439cc	
Maximum Power	85ps/5400rpm	92ps/6300rpm	
Maximum Torque	12. 5kg. m/3000rpm	12. 5kg. m/4000rpm	
No. of Cylinder	4	4	
Vehicle Weight	1195kg	940kg	
Model Year	1983	1983	
Total Driving Distance Before Testing	15, 313km	29, 532km	

2) 實驗方法

當該 自動車의 整備指針書에 따라 点火時期, 스파크프리그間隙 등의 調整, 즉 투업 (tune up)

을 실시 후速度調整스크류 및混合調整스크류를 使用하여指定한空回轉速度로調整하고 CO測定器(NDIR分析器, Horiba, Mexa-324F)로 CO濃度 2%가 되도록混合調整스크류를 使用하여調整하였다. 이렇게調整한空回轉速度에서燃料測定유액을使用하여燃料消費量을測定하고空回轉速度를下向 또는上向調整한후같은方法으로燃料消費量을測定하였다. 또한空回轉速度를變化시켜CO濃度變化量을測定하고CO濃度變化에따른燃料消費量도測定하였다.

運行中인自動車의空回轉速度와CO濃度實態를알아보기위하여회발유乘用車의代表車種인포니, 맵시(제미니포함), 스텔라및로얄을대상으로서울駐車場등에서停止稼動時에CO濃度및엔진回轉速度를測定하였다.

3. 實驗結果 및 考察

3. 1. 走行燃費

實驗自動車에走行폐탄測定器를設置하고Fig. 1에나타낸走行路線을午前(08~11),午後(14

~16시)各4回總8回에걸쳐走行폐탄을測定하였으며各路線은다시小區間(I路線:5個區間, II路線:2個區間, III路線:3個區間)으로나누어各路線別및各小區間別平均車速,燃費및4모드時間比率을算出하였다.

各走行路線의平均車速,燃費및走行모드別時間比率을交通混雜時間帶와非混雜時間帶로나누어路線別平均值와全路線의平均值를Table 2에나타내었다.

1) 平均車速

表에서볼수있는바와같이全體의平均車速은31.4km/h(車速範圍:9.9~83.6km/h)로서비교적交通疎通이원활한것으로나타났다. 이는서울(1979年)¹⁴⁾의35.8km/h나로스안젤레스代表車速인LA-4모드⁷⁾平均車速34.1km/h보다는낮으나大邱(1983年)¹⁵⁾의27.3km/h,東京(1969年)¹⁶⁾19.7km/h,大阪(1978年)¹⁷⁾20.6km/h나우리나라排出ガス測定모드의平均車速인17.7km/h보다는높은速度이다.

I路線과II路線은都心走行路線으로서交通

Table 2. Average Speed, Fuel Economy and Percentage Time Spent in Different Mode

Hour	Routes	Average Speed (km/h)	Fuel economy (km/ℓ)	Percentage time spent in 4 Mode (%)			
				ID *	AC **	CR ***	DC ****
Ruch (08~10)	I	24.3(14.3~41.9)	10.0(7.7~13.7)	31.2	27.4	16.7	24.7
	II	25.6(14.6~37.5)	10.9(7.5~12.6)	20.1	22.1	35.9	21.9
	III	46.2(30.9~83.6)	13.6(9.9~18.3)	11.0	23.4	38.2	27.4
	Total	29.9(14.3~83.6)	11.4(7.5~18.3)	21.7	24.3	29.7	24.3
Non-Ruch (14~16)	I	23.7(9.9~44.6)	10.0(5.5~15.9)	32.2	22.7	22.9	22.2
	II	30.7(21.2~41.0)	11.7(8.1~15.5)	23.9	18.8	39.0	18.3
	III	47.8(31.0~82.6)	13.9(10.2~17.7)	13.1	20.4	46.6	20.0
	Total	32.8(9.9~82.6)	11.9(5.5~17.7)	24.2	20.6	35.1	20.2
Total	I	23.1(9.9~44.6)	10.0(5.5~15.9)	31.7	24.9	20.0	23.4
	II	28.2(14.6~41.0)	11.3(7.5~15.5)	22.1	20.4	37.4	20.1
	III	47.0(30.9~83.6)	13.8(9.9~18.3)	12.1	21.8	42.5	23.6
	Total	31.4(9.9~83.6)	11.7(5.5~18.3)	23.0	22.5	32.4	22.3

* ID : Idling *** CR : Cruising

** AC : Acceleration **** DC : Deceleration

停滯가 자주 일어나며 平均車速은 I路線이 23.1 km/h(車速範圍: 9.9~44.6 km/h), II路線이 28.2 km/h(車速範圍: 14.6~41.0 km/h)이나 III路線은 47.0 km/h(車速範圍: 30.9~83.6 km/h)로서 높은 平均車速을 나타내고 있다. 이는 우리가 서울에서 느끼는 交通滯症現象과는 상당히 다르나 서울都心의 交通滯症現象은 區間에 따라 또는 時間帶에 따라 일어나는 일부 現象이며 全體의 으로는 비교적 원활한 交通疎通이 이루어지고 있음을 나타낸다.

交通混雜度는 時間帶에 따라 相異하다. 즉, 午前에는 都心을 向한 車線이 주로 混雜을 이루며 午後에는 反對로 外廓으로 向한 車線이 주로 混雜을 이루고 있다. 그러므로 같은 走行路線이라 하더라도 交通疎通 圓滑과 交通混雜이 共存하고 있어 平均車速은 낮지 않으며 交通混雜時間帶인 午前과 非混雜時間帶인 午後에 있어서 平均車速의 變化가 없는 것은 이러한 이유 때문으로 볼 수 있다.

2) 燃費

燃費, 즉 單位燃料當 走行距離를 보면 같은 自動車라 할지라도 走行條件에 따라 큰 차이를 나타내고 있음을 Table 2에서 볼 수 있다. 즉, 서울都心을 走行하고 있는 우리나라 小型乗用車는 煤發油 1ℓ로서 달릴 수 있는 거리는 5.5km ~ 18.3km로서 그 폭이 넓다. 이와 같은 차이는同一自動車로서同一運轉者가 運轉하였기 때문에 주로 交通混雜度, 道路條件 및 氣候條件에 의해 결정되어지나 Fig. 4에서 볼 수 있는 바와 같이 交通混雜度, 즉 平均車速에 크게 關係된다. 交通停滯가 심한 區間에서는 検定유 1ℓ로서 5.5 km밖에 달릴 수 없으나 交通疎通이 잘되는 區間에서는 18.3 km를 달릴 수 있다.

I路線의 平均燃費는 10.0 km/h(範圍 5.5~15.9 km/ℓ)로서 國產 小型乗用車의 10모드測定燃費의 平均值¹²⁾에 해당되며, II路線은 11.3 km/ℓ(範圍7.5~15.5 km/ℓ)로서 I路線보다 13% 높으며, III路線은 13.8 km/ℓ(範圍9.9~18.3 km/ℓ)로서 I路線보다 무려 38%나 燃費가 높음을 알 수 있다. 즉, I路線을 走行할 때는 III路線을 走

行할 때보다 單位距離當 38%의 燃料가 더 消費된다는 것을 알 수 있다.

全體路線의 平均燃費는 11.7 km/ℓ로서 國產 小型乗用車의 10모드燃費보다 다소 높으며 일반적으로 平均速度가 낮으면 燃費가 낮고 平均車速이 높으면 燃費가 높음을 볼 수 있다. Table 2에 나타낸 燃費는 각 走行條件에 따른 燃料消費를 比較하기 위한 것이며 燃費의 絶對量을 測定하기 위한 目的이 아님을 謂하였다.

3) 4 모드時間比率

4 모드時間比率은 平均車速과 함께 自動車의 走行狀態를 나타내는 主要한 指標로서, Table 2에 交通混雜時間帶과 非混雜時間帶로 나누어 路線別 平均值를 나타내었다.

表에서 볼 수 있는 바와 같이 아이들링시간비율은 I路線이 31.7%로서 가장 높으며, III路線은 12.1%로서 가장 낮다. 일반적으로 아이들링時間比率이 높으면 定速時間比率이 낮고 平均車速이 낮으며 平均車速과 아이들링時間比率은 밀접한 關係가 있으므로(Fig. 3) 될 수 있는 한 아이들링時間比率을 줄일 수 있는 交通信號體系 등 交通疎通對策을 강구하여야 한다.

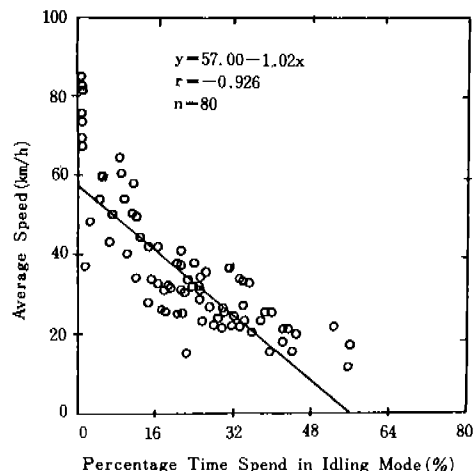


Fig. 3 Correlation between Average Speed and Percentage Time Spent in Idling

4) 平均車速과 走行燃費 相關

自動車가 都心地域을 走行할 때의 走行燃費와 車速과의 關係는 그간 많이 研究되었으며, 특히

L. Evans²⁻⁴, M. F. Chang^{5,6} 등의 研究에 의하면 都心走行에 있어서 燃料消費率과 車速의 關係는 簡單한 直線關係式으로 表示할 수 있다.

$$\bar{\phi} = k_1 + k_2 \bar{t} \quad (\text{車速이 } 60 \text{ km/h 以下일 때})$$

$$\text{또는 } \frac{1}{E} = k_1 + k_2 / \bar{v}$$

여기서 $\bar{\phi}$: 단위距離當 燃料消費量 ($m\ell/km$)

\bar{v} : 平均速度 (km/h)

E : 燃費 (km/ℓ)

\bar{t} : 單位距離當 走行時間 (sec/km)

k_1, k_2 : 常數

여기서 常數 k_1 은 自動車의 驅動抵抗 (rolling resistance)에 所要되는 單位距離當 燃料消費量에 해당되며 이는 대략 自動車의 무게 (M)에 比例한다고 한다.

$$k_1 = C_M M, \text{ 여기서 } C_M : \text{比例常數}$$

상수 k_2 는 時間과 관계되는 손실로서 대략 아이들링燃料消費率 (I)과 관계된다고 한다.

$$k_2 = C_I I, \text{ 여기서 } C_I : \text{比例常數}$$

本研究에서는 全走行路線을 10個 小區間으로 나누어 총 8回에 걸쳐 實測한 80個의 平均車速과 平均燃費로부터 單位距離當 燃料消費量 ($\bar{\phi}$, $m\ell/km$)과 單位距離當 走行時間 (\bar{t} , sec/km)

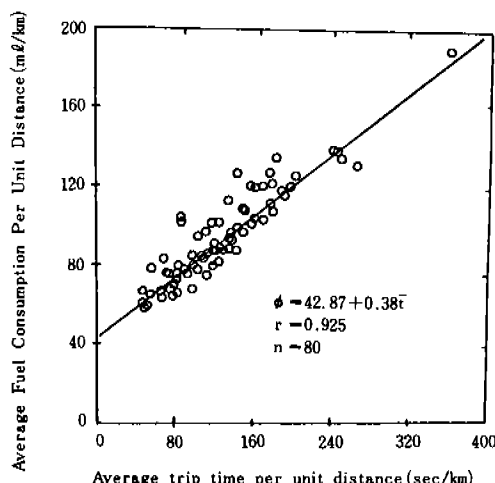


Fig. 4 Correlation between Average Fuel Consumption per Unit Distance and Average Trip Time per Unit Distance

과의 關係를 Fig. 4에 나타내었으며 그림에서 나타낸 직선은 $\bar{\phi}$ 와 \bar{t} 의 값을 最小二乘法에 의하여 추정한 回歸直線式이며 $\bar{\phi} = 42.87 + 0.38\bar{t}$ 로 나타났다.

여기서 알 수 있는 바와 같이 $\bar{\phi}$ 와 \bar{t} 는 좋은相關性을 가진다 ($R=0.925$). 都心走行에 있어서 單位距離當 燃料消費量은 單位距離當 走行時間의 增加에 따라 直線的으로 增加함을 알 수 있으며 이는 다른 研究結果와도 잘 일치하고 있다.

嶋純孝 등¹⁰은 小型乗用車를 使用하여 測定結果 回歸直線式 $\bar{\phi} = 50.76 + 0.23\bar{t}$ 을 얻었으며 M. F. Chang 등은 6600cc 및 5000cc 乗用車를 사용하여 回歸直線式 $\bar{\phi} = 112 + 1.06\bar{t}$ 및 $\bar{\phi} = 84.0 + 1.01\bar{t}$ 를 각각 얻었다.

本研究와 嶋純孝 등이 구한 回歸直線式에서는 k_1 이 42.87 및 50.76이며 k_2 가 0.38 및 0.23으로서 적은 값을 나타내나 M. F. Chang 등이 구한 式에서는 k_1 이 112 및 84.0이며 k_2 가 10.5 및 1.01로서 큰 값을 나타내고 있다. 이는 自動車의 重量 및 排氣量은 燃料消費量에 크게 影響을 미친다는 것을 알 수 있다.

3.2. 아이들링 燃料消費量

運行中인 自動車의 空回轉速度는 自動車의 排出ガス濃度(特히 CO濃度) 및 燃料消費量에 影響을 미친다는 것은 잘 알려진 바이다. 우리나라의 運轉者들, 특히 職業運轉者들은 空回轉速度를 下向調整하면 燃料가 低減된다고 믿고 있다. 그러나 아무런 裝備 없이 드라이버 등으로 速度調整스크류 및 混合調整스크류를 돌려 空回轉速度를任意로 下向調整하고 있다. 이는 燃料는 대소 低減시킬 수 있을 뿐만 아니라 大氣污染 物質의 排出量을 增加시킴으로써 大氣를 크게 汚染시키는結果를 招來하게 된다.

本研究에서는 空回轉速度를 낮추면 燃料를 低減시킬 수 있다는 莫然한 運轉者들의 생각이 自動車排出ガス 중 CO濃度의 增加 및 燃料消費量에 어떤 影響을 미치는가를 알아 보기 위하여 市中에 많이 運行되고 있는 小型乗用車 두 車種을 選定하여 空回轉速度와 아이들링 燃料消費量, CO濃度와 아이들링 燃料消費量 및 空回轉速度

와 CO濃度와의 關係를 調査하여 보았다.

1) 空回轉速度나 아이들링 燃料消費量

空回轉速度의 變化에 따른 아이들링 燃料消費量의 變化를 測定한 結果 Fig. 5와 같다. 그림에서 볼 수 있는 바와 같이 空回轉速度를 規定回轉速度 (rpm) 보다 150 rpm 下向調整하였을 때 아이들링 燃料消費量은 平均 23.5% 減少되었으며 規定 rpm보다 150 rpm 上向調整하였을 때는 28.5% 增加되었다.

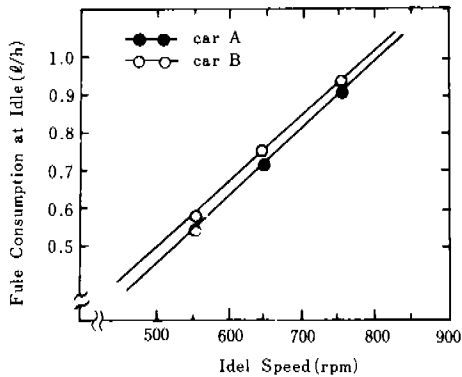


Fig. 5 Fuel Consumption at Idle versus Idle Speed

2) CO濃度와 아이들링 燃料消費量

停止稼動時 CO濃度의 變化에 따른 아이들링 燃料消費量을 空回轉速度 650 rpm 및 800 rpm에서 測定하여 그 結果를 Fig. 6에 나타내었다.

그림에서 볼 수 있는 바와 같이 650 rpm에 있어서는 CO濃度가 8%로增加하면 燃料消費量이 CO濃度 2%보다 平均 47%增加하였으며 800 rpm에 있어서는 35%增加하였다. CO濃度 變化에 따른 아이들링 연료소비량의 变화는 車種에 따라 差異를 나타내었으나 全體的으로 CO濃度增加와 더불어 아이들링 燃料消費量은 增加하였다.

3) 空回轉速度와 CO濃度

空回轉速度를 500 rpm에서 950 rpm까지 50 rpm 간격으로 調整하면서 CO濃度의 變化를 測定하여 본 結果 Fig. 7과 같다. 즉, 空回轉速度를 낮게 調整하면 CO濃度가增加하여 높게 調整하면 CO濃度가減少하였다. 또한 規定 rpm을 中心으로

下向調整하면 CO濃度의 增加는 심하나 上向調整하면 크게 變化하지 않았다.

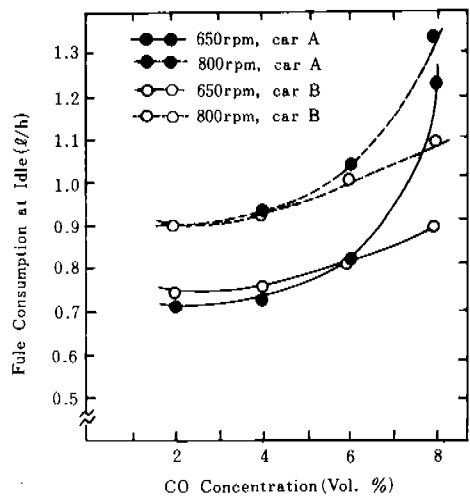


Fig. 6 Consumption at Idle versus CO Concentration

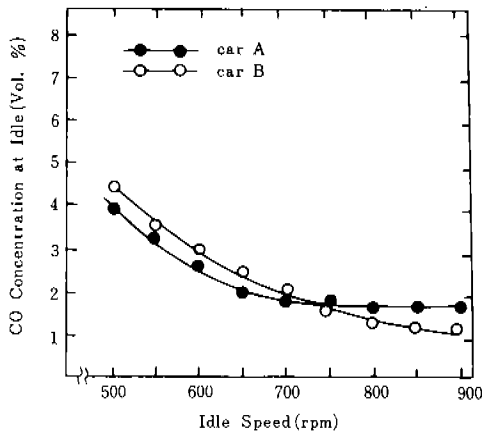


Fig. 7 CO Concentration at Idle versus Idle Speed

4) 運行中인 自動車의 空回轉速度와 CO濃度

앞에서 살펴 본 바와 같이 停止稼動時의 回轉速度 및 CO濃度는 아이들링 燃料消費量에 크게 영향을 미친다.

運行中인 自動車의 空回轉速度와 CO濃度 排出實態를 把握하기 위하여 서울에서 運行되고 있는 휘발유 乘用車의 停止稼動時의 CO濃度 및 空

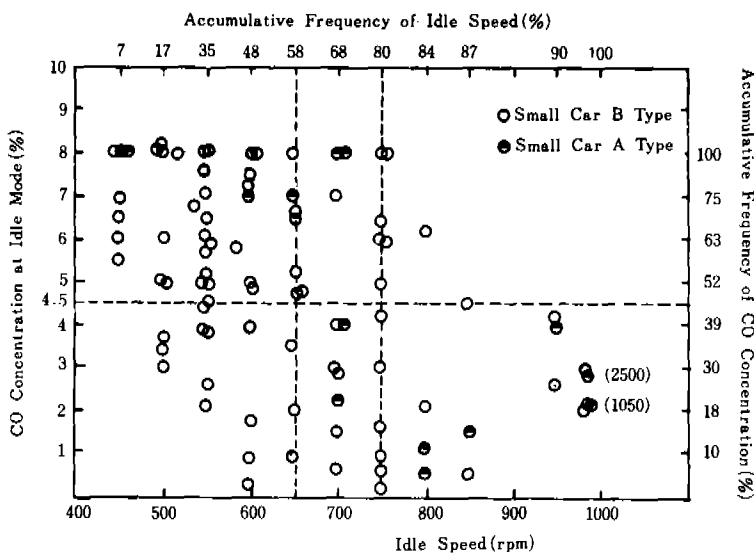


Fig. 8 CO Concentration at Idle versus Idle Speed of Small Cars in Use

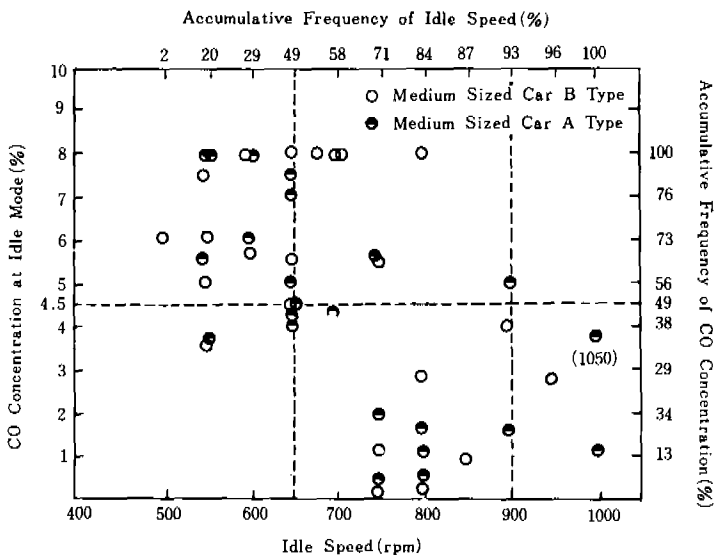


Fig. 9 CO Concentration at Idle versus Idle Speed of Medium Sized Car in Use

回轉速度를 测定하고 이의 相關을 分析한 結果는 Fig. 8 및 Fig. 9와 같다.

Fig. 8에는 小型乗用車(포니 및 맵시), Fig. 9에는 中型乗用車(로얄 및 스텔라)를 나타내었으며 小型乗用車는 57%가 排出許容基準值(4.5 % 이하)에 不適合하였으며 中型乗用車는 51%가 不適合으로 나타나 全體的으로 50% 이상이 基準值를 초과하여 CO를 排出하고 있었다.

縱軸의 橫선은 規定空回轉速度의 下限值와 上限值를 나타내었으며 小型乗用車는 450 rpm에서 2500 rpm까지 아주 넓게分布되어 있었고 규정 공회전속도보다 낮게 調整되어 있는 것이 48%, 上限值보다 높게 調整되어 있는 것이 20%이며 32%만이 規定 空回轉速度範圍에 包含되었다. 中型乗用車는 車種에 따라 또는 에어콘 등 부가장치의 부착여부에 따라 空回轉速度의 設定이다.

로나 보통 下限值 650rpm, 上限值 900rpm 이다. 實測結果 650rpm 미만으로 下向調整된 것이 29%, 900rpm 을 초과하여 調整된 것이 7%이고 64% 가 650~900rpm 범위에 있었다. 空回轉速度와 CO濃度 關係는 일반적으로 空回轉速度가 낮으면 CO濃度가 높고 空回轉速度가 높으면 CO濃度가 낮아 이는 앞에서 檢討한 바와 잘 일치하였다.

CO濃度 (y) 와 空回轉速度 (x) 와의 相關性을 分析한 結果 相關係數 (R) 는 小型乗用車가 -0.329 (시료수 = 95), 中型自動車가 -0.534 (시료수 = 45)이며 回歸直線式은 小型自動車 $y = 7.03 - 0.003x$ 이며 中型自動車 $y = 11.80 - 0.01x$ 였다.

運行中인 自動車의 空回轉速度는 아이들링 燃料消費量 및 CO濃度에 크게 影響을 미치며 아이들링 燃料消費量 및 CO濃度는 走行燃料消費量과 走行時의 CO排出量에 크게 영향을 미친다. 즉, 停止稼動時의 CO濃度가 100% 增加하면 10 모드 走行時의 CO排出量은 50% 以上增加하여¹⁸⁾ 交通停滯時은 停止稼動, 加速, 定速 및 減速 狀態가 반복되어 CO排出量은 急增하게 된다.

日本車輛検査協會¹⁹⁾ 의 測定結果에 의하면 10 모드試驗時 CO 16.13 g/km의 排出量을 갖는 自動車가 심한 交通停滯時(平均速度 4.4 km/h) 66.91 g/km (315% 增加), 平均車速 14.5 km/h 시 19.52 g/km (21% 增加), 平均車速 29.7 km/h 시 10.65 g/km (34% 減少) 및 平均車速 59.9 km/h 시 6.13 g/km (62% 減少)의 CO를 排出하였다.

이와 같이 CO排出量과 밀접한 關係를 가지고 있는 停止稼動時의 空回轉速度와 CO濃度 및 燃料消費量과의 關係는 空回轉速度를 낮추면 燃料消費量은 減少하나 CO濃度가 增加하여 CO濃度增加는 燃料消費量의 增加를 가져온다. 그러므로 단순한 空回轉速度의 低下로 燃料消費量을 줄이기 위하여 專門的인 技術과 裝備 없이 空回轉速度를 임의로 줄이는 것은 燃料低減 뿐만 아니라 大氣汚染物質 低減을 위해서도 삼가야 할 것이다.

4. 結 論

都心走行에 있어서 自動車의 走行패턴과 走行燃料消費量과의 關係를 알아보기 위하여 實驗自動車에 走行패턴測定器를 設置하고 서울都心 56.4

km의 走行實驗路線을 1983. 11. 17~11. 21 사이에 08時帶와 14時帶로 나누어 1日 2回 總 8回에 걸쳐 測定記錄한 走行패턴 測定資料中 車速과 燃料消費量 測定데이터를 分析하였으며 自動車의 空回轉速度와 排出gas中 CO濃度가 아이들링 燃料消費量에 미치는 影響 및 運行中인 自動車의 空回轉速度와 아이들링 시 CO濃度를 測定分析하여 다음과 같은 結論을 얻었다.

- (1) 서울都心의 平均車速은 31.4 km/h로서 比較的 交通疎通이 圓滑한 편이며 走行모드別 時間比率은 아이들링 23.0%, 加速 22.5%, 定速 32.4%와 減速이 22.3%였다.
- (2) 都心走行에 있어서 平均車速은 아이들링時間比率과 높은 逆相關性 ($R = -0.927$)을 가지며 回歸直線式은 $y = 57.00 - 1.02x$ 였다.
- (3) 서울都心의 單位距離當 燃料消費量 (ϕ , ml/km) 과 單位距離當走行時間 (t , sec/km)은 높은 相關性 ($R = 0.925$)을 가지며 回歸直線式은 $\phi = 42.87 + 0.38t$ 였다. 즉, 都心走行에 있어서 自動車의 車速과 走行燃費와는 높은 相關性이 있다.
- (4) 自動車의 空回轉速度를 낮추면 燃料消費量은 減少하나 CO濃度가 增加하여 CO濃度의 增加는 오히려 燃料消費量의 增加를 가져왔다. 즉, 空回轉速度를 낮추는 것만으로는 燃料消費量의 減少를 期待할 수 없었다.
- (5) 運行中인 自動車의 空回轉速度는 대부분 낮게 調整되어 있었으며 CO濃度는 50% 이상이 排出許容基準值인 4.5%를 초과하여 배출하고 있었다. 都心走行에 있어서 自動車의 走行燃料消費量을 低減시키기 위해서는 自動車疎通을 圓滑히 하여 平均車速을 向上시키고 運行中인 自動車의 整備, 點檢을 徹底히 하여 燃料消費量을 減少시켜야 한다. 이는 自動車燃費의 向上은 물론 大氣汚染物質排出低減에도 크게 기여할 것이다.

參 考 文 獻

- (1) 韓國石油開發公社, 石油類 消費實積, 1982.
- (2) Leonard Evans, et al., "Multivariate Analysis of Traffic Factors Related to Fuel Con-

- sumption in Urban Driving," *Transportation Science*, Vol. 10, No. 2, pp. 205~215, 1976.
- (3) Evans L. and R. Herman, "Automobile Fuel Economy on Urban Driving Schedules," *Transportation Science* Vol. 12, pp. 137~152, 1978.
- (4) Evans, L. "Urban Traffic, Fuel Economy and Emissions Consistency of Various Measurements," SAE 780934, 1978.
- (5) Chang, M. F. et al, "Gasoline Consumption in Urban Traffic," *Transportation Research Record*, No. 599, pp. 23~30, 1976.
- (6) Chang, M. F., and R. Herman, "Trip Time versus Stop Time and Fuel Consumption Characteristics in Cities," *Transportation Science* Vol. 15, No. 3, pp. 183~209, 1981.
- (7) Gandhi, K. K., V. A. Zvonow, and H. Singh, "Development of a Driving Cycle for Fuel Economy in a Developing Country," *Transportation Research*, Vol. 17A, No. 1, pp. 1~11, 1983.
- (8) Johnson, T. M., D. L. Formentri, R. F. Gray, and W. C Peterson, "Measurement of Motor Vehicle Operation Pertinent to Fuel Economy," SAE. 750003.
- (9) 佐野雄英, "自動車の實走行燃費－主として福岡・北九州市を対象として－," *交通工學*, Vol. 14, No. 2, pp. 11~22, 1979.
- (10) 嶋純孝, "走行状態と燃料消費のミクロ解析," 自動車技術, Vol. 35, No. 10, pp. 1177~1184, 1981.
- (11) 有賀基, "自動車の走行燃費率(km/L)特性と向上策について(I)," *内燃機關*, Vol. 21, No. 259, pp. 32~41, 1982.
- (12) 朴 宣, 朴寅錫, 金熙喆, 金應瑞, "車輛의 單位燃料當 目標走行距離 設定에 關한 研究," 韓國動力資源研究所, KE-81T-26, 1981.
- (13) 朴 宣, 高昌照, 金應瑞, "車輛의 單位燃料當 目標走行距離 設定에 關한 研究," 韓國動力資源研究所, KE-82T-19, 1982.
- (14) 金俊容, 尹明照 등, "自動車排出ガス의 公害防止對策 樹立을 위한 調査研究," 保健社會部, pp. 160~165, 1979.
- (15) 趙康來, 金良均, 董宗仁, 崔炳燦, 嚴明道, "都心地 自動車 走行패턴에 關한 調査研究," 國立環境研究所, 1983.
- (16) 八巻道臣ほか, "自動車排氣ガス防止技術に關する研究," 公害資源研究所 報告, 第16號, pp. 172, 1979.
- (17) 日本車輛検査協会, "移動發生源窒素酸物排出實態調査報告書," 大阪市 環境保健局, pp. 29~36, 1978.
- (18) 趙康來, 董宗仁, 崔炳燦, "運行中인 自動車의 一酸化炭素 低減對策에 關한 調査研究," 國立環境研究所報, Vol. 3, p. 83, 1981.
- (19) 日本車輛検査協会, "都市走行における自動車排出ガス低減効果試験報告書," 大阪市 環境保健局, p. 14, 1983.